

## Работа 1.2.3

Определение моментов инерции твёрдых тел с помощью  
трифилиярного подвеса

Струков Олег  
Б04-404

# Определение моментов инерции твердых тел с помощью трифилярного подвеса

## 1 Введение

**Цели работы:** измерение момента инерции тел и сравнение результатов с расчетами по теоретическим формулам; проверка аддитивности моментов инерции и справедливости формулы Гюйгенса-Штейнера.

**Оборудование:** трифилярный подвес, секундомер, счетчик числа колебаний, набор тел, момент инерции которых надлежит измерить (диск, стержень, полный цилиндр и другие).

## 2 Теоретические сведения

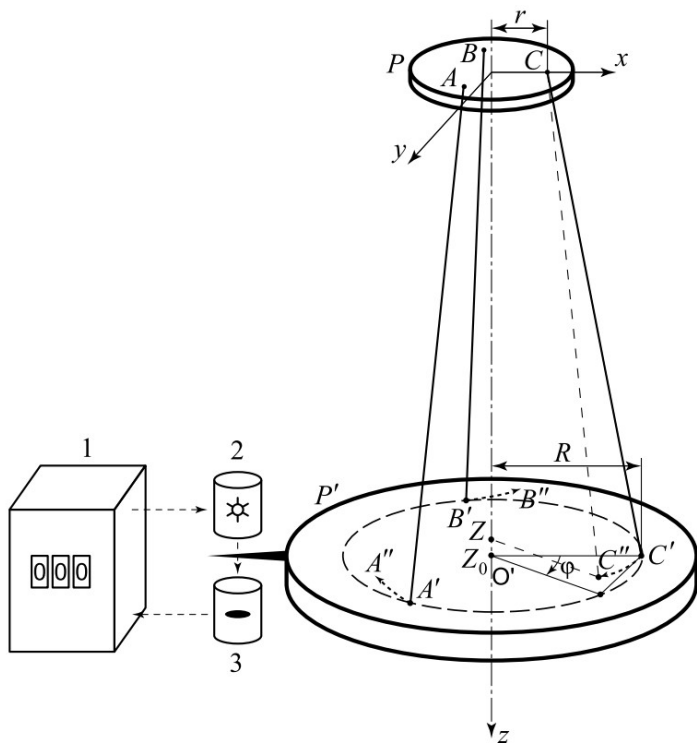


Рисунок 1: Физический маятник

Здесь  $r$  – расстояние элемента массы тела  $dm$  от оси вращения. Интегрирование проводится по всей массе тела  $m$ .

Если пренебречь потерями энергии на трение о воздух и крепление нитей, то уравнение сохранения энергии при колебаниях можно записать следующим образом:

$$\frac{I\dot{\varphi}^2}{2} + mg(z_0 - z) = E \quad (2)$$

Здесь  $I$  – момент инерции платформы вместе с исследуемым телом,  $m$  – масса платформы с телом,  $\varphi$  – угол поворота платформы от положения равновесия системы,  $z_0$  – координата по вертикали центра нижней платформы  $O'$  при равновесии ( $\varphi = 0$ ),  $z$  – координата той же точки при некотором угле поворота  $\varphi$ . Превый член в левой части уравнения – кинетическая энергия вращения, второй член – потенциальная энергия в поле тяжести,  $E$  – полная энергия системы (платформы с телом).

Воспользуемся системой координат  $x, y, z$ , связанной с верхней платформой, как показано на Рис. 1. Координаты верхнего конца одной из нитей подвеса точки  $C$  в этой системе –  $(r, 0, 0)$ . Нижний конец данной нити  $C'$ , находящийся на нижней платформе, при равновесии имеет координаты  $(R, 0, z_0)$ , а при повороте платформы на угол  $\varphi$  эта точка переходит в  $C''$  с координатами  $(R\cos\varphi, R\sin\varphi, z)$ . расстояние между точками  $C$  и  $C''$  равно длине нити, поэтому, после некоторых преобразований, получаем:

$$(R\cos\varphi - r)^2 + R^2\sin^2\varphi + z^2 = L^2$$

$$z^2 = L^2 - R^2 - r^2 + 2Rr \cos \phi \approx z_0^2 - 2Rr(1 - \cos \phi) \approx z_0^2 - Rr\phi^2$$

$$z = \sqrt{z_0^2 - Rr\phi^2} \approx z_0 - \frac{Rr\phi^2}{2z_0}$$

Подставляя  $z$  в уравнение (2), получаем:

$$\frac{1}{2}I\dot{\varphi}^2 + mg\frac{Rr}{2z_0}\varphi^2 = E \quad (3)$$

Дифференцируя по времени и сокращая на  $\dot{\varphi}$ , находим уравнение крутильных колебаний системы:

$$I\ddot{\varphi}^2 + mg\frac{Rr}{2z_0}\varphi^2 = 0 \quad (4)$$

Производная по времени от  $E$  равна нулю, так как потерями на трение, как уже было сказано выше, пренебрегаем. Решение этого уравнения имеет вид:

$$\varphi = \varphi_0 \sin \left( \sqrt{\frac{mgRr}{Iz_0}} t + \theta \right) \quad (5)$$

Здесь амплитуда  $\varphi_0$  и фаза  $\theta$  колебаний определяются начальными условиями. Период крутильных колебаний нашей системы равен:

$$T = 2\pi \sqrt{\frac{Iz_0}{mgRr}} \quad (6)$$

Из формулы для периода получаем:

$$I = \frac{mgRrT^2}{4\pi^2 z_0} = kmT^2 \quad (7)$$

где  $k = \frac{gRr}{4\pi^2 z_0}$  – величина, постоянная для данной установки. При возбуждении крутильных колебаний маятникообразных движений платформы не наблюдается – устройство функционирует нормально.

При выводе формул мы предполагали, что потери энергии, связанные с трением, малы, то есть мало затухание колебаний. Это значит, что теоретические вычисления будут верны, если выполняется условие:

$$\tau \gg T \quad (8)$$

### 3 Ход работы

- Без нагрузки нижней платформы было установлена пригодность установки для измерений, устройство для возбуждения крутильных колебаний функционирует нормально, при этом не возникают нежелательные маятникообразные движения платформы, счётчик числа колебаний работает исправно.
- Проверю, достаточно ли выполняется условие  $T \gg \tau$ . Для этого посмотрю, насколько изменится амплитуда отклонения пустой платформы после тридцати колебаний. При отклонении на  $30^\circ$  она уменьшилась примерно на  $5^\circ$ , при отклонении на  $15^\circ$  – менее чем на  $3^\circ$ . Таким образом, можно сделать вывод, что рассматриваемое условие выполняется хорошо и потери в системе достаточно малы.
- Найду рабочий диапазон амплитуд колебаний. Для этого сначала найду период колебаний пустой платформы при отклонении на  $30^\circ$ , а затем на  $15^\circ$ . В первом случае период колебаний составил 4,425 с, во втором – 4,432 с. Погрешность измерения периода с помощью таймера  $\sigma_T = 0,03$  с, поэтому можно считать, что в данном диапазоне период не зависит от угла отклонения, и использовать его в качестве рабочего диапазона амплитуд колебаний.

4. Измерю параметры установки, по ним вычислю константу  $k$ , необходимую для вычисления момента импульса  $I$ , и её погрешность  $\sigma_k$ .  $z_0$  найду с помощью теоремы Пифагора, зная радиус диска и расстояние от места крепления проволок к потолку до края диска. Результаты укажу в таблице 1.

$$z_0 = \sqrt{a^2 - b^2}$$

$$\sigma_{z_0} = z_0 \sqrt{\left(\frac{\sigma_a}{a}\right)^2 + \left(\frac{\sigma_b}{b}\right)^2}$$

$$k = \frac{gRr}{4\pi^2 z_0}$$

$$\sigma_k = k \sqrt{\left(\frac{\sigma_R}{R}\right)^2 + \left(\frac{\sigma_r}{r}\right)^2 + \left(\frac{\sigma_{z_0}}{z_0}\right)^2}$$

5. Определию момент инерции ненагруженной платформы

$$I_0 = km_0 T^2$$

$$\sigma_{I_0} = I_0 \sqrt{\left(\frac{\sigma_k}{k}\right)^2 + \left(\frac{\sigma_{m_0}}{m_0}\right)^2 + \left(\frac{2\sigma_T}{T}\right)^2}$$

6. Проверю аддитивность моментов инерции. Для этого сначала вычислю моменты инерции для тел № 1 и 2 по отдельности, а затем вместе. Внесу характеристики тел и результаты измерений и вычислений в таблицу 2. Момент инерции и его погрешность рассчитаю по формулам:

$$I = k(m_0 + m)T^2 - I_0$$

$$\sigma_I = \sigma_{I_0} + \sigma_I$$

Как видно, все измеренные моменты инерции  $I_i$  не выходят за пределы погрешности  $\sigma_{I_i}$ .

Затем рассчитываю теоретические значения моментов инерции тел и добавлю их в ту же таблицу:

$$I_1 = \frac{1}{2}m(r_1^2 + r_2^2) = \frac{1}{2}m\left(\left(\frac{D-d}{2}\right)^2 + \left(\frac{D}{2}\right)^2\right)$$

$$m_1 = m \frac{V_1}{V} = m \frac{d^2 H}{d^2 H + D^2 h}$$

$$m_2 = m \frac{V_2}{V} = m \frac{D^2 h}{d^2 H + D^2 h}$$

$$I_2 = \frac{1}{8}m_1 d^2 + \frac{1}{8}m_2 D^2 = \frac{1}{8}m \frac{d^4 H + D^4 h}{d^2 H + D^2 h}$$

Измерю момент инерции тел 1 и 2 вместе, результаты добавлю в таблицу 2. Как видно из результатов, аддитивность моментов инерции соблюдается, значение лежит в пределе допустимой погрешности:

$$I_{1+2} = (6,87 \pm 0,42) \cdot 10^{-3} \text{ кг} \cdot \text{м}^2$$

$$I_1 + I_2 = (6,83 \pm 0,48) \cdot 10^{-3} \text{ кг} \cdot \text{м}^2$$

Таблица 1: Используемые величины и их погрешности

Величина	Значение	Погрешность
Расстояние от центра крепления до края диска	$a = 215,7 \text{ см}$	$\sigma_a = 0,1 \text{ см}$
Радиус диска системы	$b = 12,5 \text{ см}$	$\sigma_b = 0,05 \text{ см}$
Расстояние от центра крепления до центра диска	$z_0 = 2153,4 \text{ мм}$	$\sigma_{z_0} = 8,7 \text{ мм}$
Расстояние от оси до нижнего крепления нити	$R = 115,5 \text{ мм}$	$\sigma_R = 0,5 \text{ мм}$
Расстояние от оси до верхнего крепления нити	$r = 30,2 \text{ мм}$	$\sigma_r = 0,3 \text{ мм}$
Масса диска	$m_0 = 1026,4 \text{ г}$	$\sigma_{m_0} = 0,5 \text{ г}$
Постоянный коэффициент для установки	$k = 4,025 \cdot 10^{-4} \text{ м}^2/\text{с}^2$	$\sigma_k = 0,047 \cdot 10^{-4} \text{ м}^2/\text{с}^2$
Момент инерции ненагруженной платформы	$I_0 = 8,07 \cdot 10^{-3} \text{ кг}\cdot\text{м}^2$	$\sigma_{I_0} = 0,14 \cdot 10^{-3} \text{ кг}\cdot\text{м}^2$
Суммарная масса половинок цилиндра	$m = 1526,9 \text{ г}$	$\sigma_m = 0,1 \text{ г}$

7. Помещу на платформу цилиндр, разрезанный по диаметру. Постепенно раздвигая половинки цилиндра так, чтобы их общий центр масс всё время оставался на оси вращения платформы, сниму зависимость момента инерции такой системы  $I$  от расстояния  $x$  каждой из половинок до оси вращения (центра платформы). Результаты внесу в таблицу № 3.

$$I = k(m + m_0)T^2 - I_0$$

Построю график зависимости  $I(x^2)$ . По нему необходимо определить массу и момент инерции цилиндра. По графику видно, что он представляет собой линейную зависимость  $I = ax^2 + b$ . По формуле Гюйгенса-Штейнера:

$$I_x(x) = I + mx^2$$

Найду коэффициенты с помощью МНК:

$$I = b = (1,688 \pm 0,024) \cdot 10^{-3} \text{ кг}\cdot\text{м}^2$$

$$m = a = (1,558 \pm 0,012) \text{ кг}$$

Как видно из эксперимента, формула Гюйгенса-Штейнера работает, а масса цилиндра, вычисленная с помощью МНК, близка к массе, определённой с помощью весов.

Таблица 2: Параметры и моменты инерции тел № 1 и 2

№	Схема	Параметры	T, с	$I + I_0, 10^{-3} \text{ кг}\cdot\text{м}^2$	$I, 10^{-3} \text{ кг}\cdot\text{м}^2$	$I_{\text{теор}}, 10^{-3} \text{ кг}\cdot\text{м}^2$
1		$h = (55,4 \pm 0,1) \text{ мм}$ $d = (4,4 \pm 0,1) \text{ мм}$ $D = (159,0 \pm 0,1) \text{ мм}$ $m = (771,7 \pm 0,1) \text{ г}$	4,204	12,79	$4,72 \pm 0,22$	4,74
2		$d = (10,2 \pm 0,1) \text{ мм}$ $D = (170,6 \pm 0,1) \text{ мм}$ $h = (3,6 \pm 0,1) \text{ мм}$ $H = (25,2 \pm 0,1) \text{ мм}$ $m = (589,5 \pm 0,1) \text{ г}$	3,964	10,22	$2,15 \pm 0,20$	2,09
1 + 2		$m = (1360,6 \pm 0,1) \text{ г}$	3,935	14,94	$6,87 \pm 0,42$	6,83

Таблица 3: Сдвиг половинок цилиндра

№	$x, \text{мм}$	$T, \text{с}$	$I, 10^{-3} \text{ кг} \cdot \text{м}^2$	№	$x, \text{мм}$	$T, \text{с}$	$I, 10^{-3} \text{ кг} \cdot \text{м}^2$
1	0	3,082	1,692	10	45	3,554	4,911
2	5	3,090	1,743	11	50	3,653	5,647
3	10	3,109	1,864	12	55	3,749	6,374
4	15	3,138	2,050	13	60	3,856	7,211
5	20	3,174	2,283	14	65	3,982	8,226
6	25	3,229	2,645	15	70	4,089	9,113
7	30	3,289	3,047	16	75	4,257	10,554
8	35	3,376	3,643	17	80	4,393	11,763
9	40	3,453	4,184				

График зависимости  $I(x^2)$

